

مطالعه ریزریخت‌شناسی اپیدرم و روزنه در گونه‌های منتخب از جنس مریم‌گلی در بخش‌های مرکزی ایران*

دریافت: ۱۴۰۲/۰۵/۱۶ بازنگری: ۱۴۰۳/۰۵/۱۶ پذیرش: ۱۴۰۳/۰۵/۲۱

سعیده مولایی: دانشجوی کارشناسی ارشد، گروه زیست‌شناسی گیاهی و جانوری، دانشکده علوم و فناوری‌های زیستی، دانشگاه اصفهان، اصفهان، ایران

سعید افشارزاده: دانشیار گروه زیست‌شناسی گیاهی و جانوری، دانشکده علوم و فناوری‌های زیستی، دانشگاه اصفهان، اصفهان، ایران

(s.afshar@sci.ui.ac.ir)

آزاده اخوان روfigar: استادیار پژوهش بخش تحقیقات منابع طبیعی، مرکز تحقیقات و آموزش کشاورزی و منابع طبیعی استان اصفهان، سازمان تحقیقات، آموزش و ترویج کشاورزی، اصفهان، ایران (a.akhavan@areeo.ac.ir)

چکیده

جنس مریم‌گلی (عنائیان)، به دلیل پراکنش جهانی و تنوع ریخت‌شناسی گستردگی، یکی از بزرگ‌ترین جنس‌های گیاهی محسوب می‌شود. این پژوهش به منظور بررسی ویژگی‌های ریزریخت‌شناسی اپیدرم و روزنه در ۲۰ گونه منتخب از این جنس در مناطق مرکزی ایران انجام شد. برای این مطالعه نمونه‌های گیاهی با استفاده از میکروسکوپ نوری و الکترونی روبشی مورد بررسی قرار گرفتند. ویژگی‌های کمی شامل شمارش تعداد روزنه‌ها و اندازه‌گیری بعد آن‌ها و ویژگی‌های کیفی شامل آرایش سلول‌های اپیدرمی و نحوه قرارگیری سلول‌های نگهبان روزنه مورد تحلیل قرار گرفت. نتایج نشان داد که *S. virgata* و *S. syriaca* به ترتیب بالاترین و پایین‌ترین شاخص روزنه و *S. officinalis* و *S. viridis* به ترتیب بیشترین و کمترین طول روزنه را داشتند. تفاوت‌های قابل ملاحظه‌ای در شکل ظاهری روزنه‌ها و سلول‌های اپیدرمی در میان گونه‌ها مشاهده شد، به طوری که روزنه‌ها در تمام گونه‌ها مربعی با نوع دیاپسیتیک و سلول‌های اپیدرمی شیاردار و در برخی صاف بود. بر این اساس، ویژگی‌های ریزریخت‌شناسی اپیدرم و روزنه‌ها ابزارهای تشخیصی مفیدی برای شناسایی گونه‌ها محسوب می‌شوند. همچنین، مشخص شد که استفاده از میکروسکوپ نوری و الکترونی روبشی، اطلاعات دقیقی برای بهبود روش‌های آرایه‌شناختی و کمک به شناسایی گیاهان فراهم می‌کند. تفاوت‌ها و شباهت‌های مشاهده شده احتمالاً به دلیل تأثیرات شرایط بوم‌شناسی و تفاوت‌های ژنتیکی بوده که در ک بهتر این روابط می‌تواند به توسعه روش‌های دقیق‌تر برای طبقه‌بندی و شناسایی گونه‌ها در مطالعات گیاه‌شناسی کمک کند.

واژه‌های کلیدی: اپیدرم برگ، شاخص روزنه، میکروسکوپ الکترونی روبشی (SEM)، میکروسکوپ نوری (LM)، عنائیان، *Salvia*

Micromorphological study of epidermis and stomata in selected species of *Salvia* in central Iran

Received: 22.07.2024 Revised: 06.08.2024 Accepted: 11.08.2024

Saeideh Molaei: MSc Student, Department of Plant and Animal Biology, Faculty of Biological Sciences and Technology, University of Isfahan, Isfahan, Iran

Saeed Afsharzadeh: Associate Prof., Department of Plant and Animal Biology, Faculty of Biological Sciences and Technology, University of Isfahan, Isfahan, Iran (s.afshar@sci.ui.ac.ir)

Azadeh Akhavan Roofigar: Assistant Research Prof., Natural Resources Research Division, Isfahan Agricultural and Natural Resources Research and Education Center, Agricultural Research, Education and Extension Organization (AREEO), Isfahan, Iran (a.akhavan@areeo.ac.ir)

Summary

The genus *Salvia* L. (*Lamiaceae*) is considered as one of the largest plant genera due to its global distribution and extensive morphological diversity. This research aimed to examine the micromorphological characteristics of the epidermis and stomata in 20 selected species of this genus. Plant samples examined using light microscopy (LM) and scanning electron microscopy (SEM). Quantitative characteristics, including stomatal count and dimension measurements, and qualitative features, such as the arrangement of epidermal cells and the positioning of guard cells, were analyzed. The results showed that, *S. virgata* and *S. syriaca* had the highest and lowest stomatal index, and *S. viridis* and *S. officinalis* had the longest and shortest stomata, respectively. Significant differences in the appearance of stomata and epidermal cells among the species were noted with stomata in some species being square-shaped. Epidermal cells in some species were ridged while in others were smooth; and all species exhibited diacytic stomatal types. This study demonstrated that, micromorphological characteristics of the epidermis and stomata are useful diagnostic tools for identifying and classifying *Salvia* species. The use of LM and SEM provided precise information for this purpose, contributing to the improvement of taxonomic methods and plant identification. The observed differences and similarities are likely due to ecological conditions and genetic variations, and understanding these relationships can aid in the development of more exact methods for classifying and identifying species in botanical studies.

Keywords: *Lamiaceae*, leaf epidermis, light microscopy, scanning electron microscopy, stomatal index

* مستخرج از پایان‌نامه کارشناسی ارشد نگارنده نخست به راهنمایی دکتر سعید افشارزاده و دکتر آزاده اخوان روfigar ارایه شده به دانشگاه اصفهان

مقدمه

تنوع ریزریختشناسی سلول‌های اپیدرمی به عنوان یکی از منابع اصلی داده در طبقه‌بندی مورد استفاده قرار گرفته و نقش اساسی در سیستماتیک تیره‌های مختلف گیاهی ایفا می‌کند Metcalfe & Chalk 1979, Ghahremaninejad 2004, (Ghahremaninejad *et al.* 2012, Karbalaei *et al.* 2021 تشریحی سلول‌های اپیدرمی برگ در جنس مریم‌گلی از ویژگی‌های مهم برای تمایز گونه‌های مختلف آن محسوب می‌شوند. این ویژگی‌ها شامل اندازه و شکل سلول‌های اپیدرمی، توزیع روزنہ‌ها و نحوه قرارگیری، اندازه سلول‌های نگهبان، تعداد سلول‌های فرعی و همچنین انواع کرک‌های غده‌ای و غیرغده‌ای است. ریختشناسی اپیدرم برگ در جنس مورد مطالعه توسط بسیاری از محققان در سراسر جهان مطالعه شده است. با بررسی هر دو سطح برگ در این گیاه با استفاده از میکروسکوپ الکترونی روبشی، مشخص شد که کرک‌های غده‌ای چندسلولی به صورت یکنواخت و پراکنده وجود دارند که نسبت به کرک‌های غیرغده‌ای Navarro & Qualidi 2000, Dyubeni & Buwa 2012). رسوبات کریستالی مشاهده شده در سطح اپیدرم نشان داد که این رسوبات برای رشد گیاه ضروری بوده و در مقابل اثرات سمی کمک می‌کنند (Corsi & Bottega 1999). بررسی‌های ریزریختشناسی و تشریحی در سه گونه در این جنس مربوط به ترکیه با استفاده از میکروسکوپ نوری و الکترونی روبشی نشان داد که ساختار تشریحی ساقه و برگ در هر سه گونه مشابه، اما میزان کرکدار بودن و تزیینات روی میوه در این گونه‌ها متفاوت است (Özler *et al.* 2013, Polat *et al.* 2017). در مطالعه دیگری مشاهده شد که در این جنس، کرک‌هایی که روی برگ‌ها، ساقه، کاسه، جام‌گل و گاهی نیز روی پرچم‌ها یافت می‌شوند، به دو نوع غده‌ای و غیرغده‌ای مجزا شده‌اند. کرک‌های غده‌ای نیز خود به دو شکل کلاهکدار (capitate) و سپرمانند (peltate) مشاهده می‌شوند (Kaya 2011). همچنین، مطالعات پیشین نشان دادند که گونه‌های جنس ریزریختشناسی تنوع بالایی دارند. برای مثال، بررسی ویژگی‌های ریزریختشناسی، تشریحی و تزیینات گرده‌ای چهار گونه بیابانزی در مرکز ایران، بر تنوع بالای این گیاه در مناطق خشک ایران تاکید کرد (Jafari & Nikian 2008) به علاوه، مطالعه مورفومتری ۱۲ گونه از این جنس در ایران، اهمیت ویژگی‌های تشخیصی برای تمایز گونه‌ها را نشان داده است (Kharazian 2012). بررسی ویژگی‌های تشریحی و ریزریختشناسی برگ‌های گونه‌های جنس مریم‌گلی در شمال-

جنس مریم‌گلی (*Salvia* L.) یکی از جنس‌های مهم نعنایان (Lamiaceae) و زیرتیره *Nepetoideae* محسوب می‌شود Clebsch & Barner 2003 (Barner 2003). از نظر تشریحی، صفات عمومی جنس، ساقه چهارگوش در برش عرضی، کلانشیم توسعه یافته در زاویه‌های ساقه و وجود کلانشیم و اسکلرانشیم به عنوان بافت استحکامی در گیاه هستند (Bahadori *et al.* 2017). این جنس از نظر ریختشناسی گل، گردهافشانی و اشکال متابولیت‌های ثانویه تنوع Clebsch & Barner 2003, Harley et al. 2004, Kamatou *et al.* 2008 قابل توجهی را نشان می‌دهد (Walker & Sytsma 2007). گونه‌های مختلف این جنس بیشتر در سه منطقه جهانی آمریکای مرکزی و جنوبی با حدود ۵۰۰ گونه، آسیای غربی با حدود ۲۰۰ گونه و آسیای شرقی با حدود ۱۰۰ گونه پراکنده‌اند (Albaladejo *et al.* 2004). این جنس در آسیا، به ویژه در جنوب‌غربی و مرکز آن، دارای بیشترین تنوع گونه‌ای است (Hedge 1982)، به طوری که در حال حاضر، مراکز وسیعی از تنوع آن بسته به شرایط بوم‌شناختی، ساختار ریختشناسی و رفتار رویشی گونه‌ها، در نواحی خاورمیانه گزارش شده است (Kahraman *et al.* 2010). حدود ۹۵ گونه این جنس در ترکیه یافت می‌شوند که نزدیک به ۵۰ گونه انحصاری منطقه یاد شده هستند (Kahraman *et al.* 2010).

پراکنش اعضای این جنس بیشتر در نواحی مرکزی ایران و همچنین در بخش‌های غربی، شمال‌غربی، جنوب‌غربی و جنوب‌شرقی است ولی بیشترین تمرکز آن در نواحی سردسیری، Kharazian نیمه‌سردسیری و گرسیزی کشور مشاهده می‌شود (Kharazian 2009). یکی از مهم‌ترین مناطق تنوع این جنس در جنوب‌غربی آسیا، ناحیه ایرانی-تورانی است. ایران با داشتن حدود ۶۱ گونه، دومین مرکز تنوع این جنس در آسیای جنوب‌غربی محسوب می‌شود. گونه‌های این جنس در بسیاری از زیستگاه‌های ایران سازگاری یافته‌اند، به طوری که در مناطق کوهستانی، جنگل‌های بلوط، مزارع، چمنزارها، دامنه‌های صخره‌ای آهکی، زمین‌های سنگلاخی، مناطق بیابانی و تپه‌های شنی کشور یافت می‌شوند (Jamzad 2012). عوامل بوم شناختی، فاصله جغرافیایی و ژنتیکی، تأثیر مهمی در پراکنش گونه‌های این جنس در سراسر ایران دارند (Mostafavi & Hesami 2023). در ناحیه فلورا ایرانیکا، ۷۰ گونه در این جنس در نظر گرفته شده است (Hedge 1982) و براساس فلور ایران، حدود ۶۱ گونه از آن در ایران رویش دارند که از میان آن‌ها، ۱۸ گونه (۲۹/۵٪) اندمیک هستند (جمزاد ۲۰۱۲).

نگهبان و الگوی سلول‌های اپیدرمی) تقسیم شدند. شکل سلول‌های اپیدرمی به طور ویژه مورد بررسی قرار گرفت و نوع روزنہ با استفاده از میکروسکوپ نوری تعیین شد، در حالی که برای تعیین صفات کمی، مانند اندازه‌گیری طول و عرض سلول‌های اپیدرمی و روزنہ‌ها، میکروسکوپ الکترونی مناسب‌تر بود. سلول‌های همراه روزنہ‌ها را احاطه کرده و از سلول‌های اپیدرمی کوچک‌تر بودند. بر حسب نوع استقرار آن‌ها در اطراف سلول‌های محافظ، به چند تیپ تقسیم شدند. نتایج به دست آمده توسط میکروسکوپ نوری و الکترونی روبشی نشان داد که تیپ روزنہ‌ای در تمام گونه‌های مورد مطالعه از نوع دیاستیک بود.

در ابتدا، منابع مرتبط با آرایه‌های مورد مطالعه بررسی شدند (هج ۱۹۸۲، جمزاد ۲۰۱۲). نمونه‌های گیاهی مورد استفاده در این تحقیق از هریاریوم مرکز تحقیقات و آموزش کشاورزی و منابع طبیعی استان اصفهان (SFAHAN) انتخاب شدند. برای این مطالعه، حداقل سه نمونه از نمونه‌های مختلف هر گونه بررسی شدند (جدول ۱).

- مطالعات توسط میکروسکوپ نوری (LM)

با استفاده از میکروسکوپ نوری و روش برش‌گیری دستی از هر گونه، حداقل سه نمونه در هر جمعیت بررسی گردید. برگ‌ها از نواحی مشابهی از ساقه انتخاب شدند و نمونه‌ها به مدت ۲۴–۴۸ ساعت در محلول اسید استیک و اتانول به نسبت ۱:۳ قرار گرفتند تا بافت برگ نرم شود. سپس، نمونه‌ها در محلول هیدروژن پراکسید و اسید استیک به نسبت ۱:۱ به مدت ۵ دقیقه در دمای ۸۰ تا ۱۰۰ درجه سلسیوس قرار گرفتند تا بی‌رنگ و سفید شوند. پس از این فرآیند، نمونه‌ها از محلول خارج شده، با آب مقطر شستشو و برای جداسازی اپیدرم آماده شدند (کرک‌های فراوان که مانع تشخیص روزنہ‌ها می‌شدند، از سطح برگ جدا شدند). سپس، یک لایه نازک از سطح زیرین برگ جدا شده و روی لام قرار داده شد. در نهایت، نمونه‌ها با بزرگ‌نمایی ۴۰X مشاهده و عکس برداری شد.

- مطالعات توسط میکروسکوپ الکترونی روبشی (SEM)

تهیه تصاویر میکروسکوپ الکترونی روبشی از نمونه‌ها در دانشگاه صنعتی اصفهان (دانشکده مهندسی مواد) صورت گرفت. ابتدا، ابعاد کوچکی از نمونه‌های برگ انتخاب و با دقت روی پایه‌های مخصوص از جنس آلومینیوم با استفاده از چسب دوطرفه قرار داده شدند. سپس، نمونه‌ها را در یک نمونه‌گیر قرار داده و سطح آن‌ها با لایه‌ای به قطر ۱۰ نانومتر از طلا پوشش داده شد (این پوشش نازک تأثیری بر ریخت‌شناسی سطحی نمونه‌ها نداشت). عکس برداری در مقیاس‌های ۲۰، ۵۰، ۱۰۰ و ۲۰۰ میکرومتر تهیه گردید.

شرق ایران حاکی از تفاوت‌هایی در ساختار کرک‌ها و تشریح برگ‌ها بین گونه‌های مختلف است (Mousavi *et al.* 2014). در مطالعه دیگری با استفاده از آرایه‌شناسی عددی، گونه‌های این جنس در دامنه جنوبی البرز مرکزی بررسی و کارآیی ویژگی‌های ریخت‌شناسی کمی در حل مشکلات طبقه‌بندی آن نشان داده شد (Alijanpour & Sheidai 2017). همچنین، در بررسی جمعیت‌های مختلف گونه‌ها مشاهده شد که شکل کرک‌ها و سلول‌های اپیدرمی با یکدیگر متفاوت است، به طوری که برخی دارای کرک‌های غده‌ای و تعدادی بدون غده و از لحاظ ساختار، اندازه و شکل متفاوت بودند (Bercu *et al.* 2012). اپیدرم در این جنس از یک لایه سلول تشکیل شده که به شکل‌های چهارگوش یا تخم مرغی و نوع سلول‌های پارانشیمی سطح پهنه‌ک اساس جداسازی برخی گونه‌ها در این جنس شده است. تیپ روزنہ‌ای نیز از نوع آنوموستیک و دیاستیک بود (Moon *et al.* 2009).

به دلیل تنوع گونه‌ای بالا، جنس مریم‌گلی دارای طیف وسیعی از تغییرات ریخت‌شناسی است و میزان شباهت بین گونه‌های آن عموماً زیاد است، به طوری که تشخیص دقیق اعضای آن از یکدیگر از طریق کلیدهای شناسایی متکی بر صفات ریخت‌شناسی بسیار مشکل است (Walker & Sytsma 2007). بنابراین، با توجه به توزیع گسترده و طبقه‌بندی پیچیده این جنس، ویژگی‌های ریز ریخت‌شناسی اپیدرم برگ در برخی از گونه‌های منتخب جنس مذکور با استفاده از میکروسکوپ نوری و الکترونی روبشی مورد بررسی قرار گرفت.

این مطالعه، به منظور درک بهتر ارزش طبقه‌بندی صفات ریز ریخت‌شناسی در میان گونه‌های مختلف در مرکز ایران و تعیین تأثیر این صفات در حل تعارضات طبقه‌بندی این جنس انجام شده است. لذا هدف اصلی این تحقیق، ارایه اطلاعات دقیق‌تر و کارآمدتر برای تشخیص گونه‌های منتخب جنس مریم‌گلی در مرکز ایران است.

روش بررسی

- بررسی منابع و انتخاب نمونه‌ها
ویژگی‌های مختلف سلول‌های اپیدرمی برگ و نتایج تجزیه و تحلیل کمی و کیفی گونه‌های مورد مطالعه با استفاده از میکروسکوپ نوری و الکترونی روبشی در جدول ۲ خلاصه شده است. این ویژگی‌ها به طور کلی به دو دسته کمی (اندازه‌گیری طول و عرض روزنہ‌ها و شمارش تعداد روزنہ‌ها) و کیفی (آرایش سلول‌های اطراف سلول‌های

جدول ۱- گونه‌های منتخبی مریم‌گلی همراه با اطلاعات مربوطه

Table 1. Selected *Salvia* species along with related data

TAXON	LOCALITY, COLLECTOR & HERBARIUM NO. (SFAHAN)
<i>Salvia aristata</i> Aucher ex Benth.	Isfahan Prov.: Fereydan, Daran, Tiran; Noroozi & Shams 13266 Isfahan Prov.: Tiran; Noroozi & Feyzi 5239 Isfahan Prov.: Fereydunshahr, Poshtkuh; Ghaedi 7254
<i>S. atropatana</i> Bunge	Isfahan Prov.: Khansar, Golestanlu; Feyzi 10030 Chaharmahal-o-Bakhtiari Prov.: Shahr-e Kord, Rokh neck; Noroozi 2392 Isfahan Prov.: Golpayegan; Shams & Feyzi 9848
<i>S. brachysiphon</i> Stapf	Isfahan Prov.: Fereydan, Qaleh Bahman; Feyzi & Shams 12596 Isfahan Prov.: Daran, Ghahiz; Noroozi 3989 Isfahan Prov.: Daran; Noroozi & Etemadi 769
<i>S. ceratophylla</i> L.	Chaharmahal-o-Bakhtiari Prov.: Shahr-e Kord, Lordegan; Noroozi 4378 Isfahan Prov.: Tiran; Noroozi & Samanpour 5137 Isfahan Prov.: Naein; Ghaedi 7277
<i>S. hydrangea</i> Dc. ex Benth.	Isfahan Prov.: Fereydunshahr; Noroozi & Shams 11837 Isfahan Prov.: Meymeh, Mute; Feyzi 13183 Isfahan Prov.: Shahreza, Honjan; Mohajeri 7629
<i>S. indica</i> L.	Chaharmahal-o-Bakhtiari Prov.: Shahr-e Kord, Rokh neck; Janighorban & Fadavi 4829
<i>S. limbata</i> C.A.Mey.	Isfahan Prov.: Kashan, Qamsar; Shams 10119 Isfahan Prov.: Meymeh; Feyzi 13117 Isfahan Prov.: Meymeh; Feyzi 9215
<i>S. macrosiphon</i> Boiss.	Isfahan Prov.: Bagh Abresham; Noroozi & Shams 11529 Isfahan Prov.: Pinart Mt.; Noroozi & Feyzi 6978 Isfahan Prov.: Kolah Ghazi Mt.; Feyzi 8915
<i>S. mirzayanii</i> Rech. f. & Esfand.	Fars Prov.: Shiraz, Sarvestan; Feyzi 9099
<i>S. nemorosa</i> L.	Hamedan Prov.: Hamedan, Heydare; Shams 13940 Isfahan Prov.: Chadegan, Zayandeh-Rood Dam; Noroozi & Matin 6172 Isfahan Prov.: Semiroom; Mohajeri 7252
<i>S. officinalis</i> L.	Isfahan Prov.: Najafabad; Asfa & Ghaedi 11437 Mazandaran Prov.: Noshahr Botanical Garden; Rasti, Ghaedi & Mousavi 8616
<i>S. palaestina</i> Benth.	Isfahan Prov.: Fereydunshahr; Noroozi & Khajeddin 877 Isfahan Prov.: Naein; Feyzi 8953 Fars Prov.: Shiraz, Sarvestan; Jamzad 9106
<i>S. reuteriana</i> Boiss.	Isfahan Prov.: Shahreza; Feyzi & Shams 10005 Isfahan Prov.: Natanz; Feyzi & Shams 10711 Isfahan Prov.: Semiroom; Noroozi 4299
<i>S. sclarea</i> L.	Isfahan Prov.: Shahreza, Dehaqan; Janighorban & Shams 14597 Isfahan Prov.: Semiroom; Noroozi 3110 Isfahan Prov.: Chadegan; Noroozi 6470
<i>S. spinosa</i> L.	Isfahan Prov.: Sofreh Mt.; Feyzi & Jaberolansar 16709 Isfahan Prov.: Chadegan; Noroozi, Etemadi & Khajeddin 899
<i>S. splendens</i> Sellow ex Nees	Isfahan Prov.: Najafabad; Asfa & Ghaedi 11470
<i>S. syriaca</i> L.	Isfahan Prov.: Fereydan, Daran; Noroozi & Shams 13263 Isfahan Prov.: Semiroom, Padena; Noroozi 2965 Isfahan Prov.: Chadegan; Noroozi & Heydari 5613
<i>S. verbascifolia</i> M.Bieb.	Isfahan Prov.: Fereydunshahr, Poshtkuh; Rahiminejad & Noroozi 1603 Isfahan Prov.: Khansar, Golestanlu; Noroozi 548 Isfahan Prov.: Semiroom, Chanbare Mt.; Ghaedi 7717
<i>S. virgata</i> Jacq.	Isfahan Prov.: Najafabad; Asfa & Ghaedi 11429 Isfahan Prov.: Fereydunshahr; Nekookhoo 14995 Isfahan Prov.: Fereydunshahr, Tanghe Doozan; Noroozi & Feyzi 6866
<i>S. viridis</i> L.	Isfahan Prov.: Najafabad; Asfa 13720

نتیجه

در این مطالعه، ۲۰ گونه از جنس مریم‌گلی از مناطق مختلف مرکزی ایران از لحاظ کمی و کیفی مورد بررسی قرار گرفتند. مطالعات کمی شامل شمارش روزنہ‌ها و اندازه‌گیری طول و عرض روزنہ‌ها و بررسی‌های کیفی شامل نحوه آرایش سلول‌های اپیدرمی و چگونگی قرار گرفتن سلول‌های نگهبان روزنہ‌ها بود.

- شمارش روزنہ‌ها و تجزیه و تحلیل

برای شمارش روزنہ‌ها و تعداد سلول‌های اپیدرم برگ و همچنین تهیه جدول شاخص روزنہ، از میکروسکوپ نوری با درشت‌نمایی ۴۰ و مقیاس ۳۰ میکرومتر استفاده شد. ابعاد تصاویر تهیه شده در مقیاس فوق محاسبه گردید و مساحت سطح مقطع مشخص شده براساس میلی‌متر مربع به دست آمد و نهایتاً شاخص روزنہ براساس فرمول مربوط محاسبه شد. سپس، برای تجزیه و تحلیل گونه‌های مورد مطالعه، از نرم‌افزار (Ver. 5.4.9) Digimizer استفاده گردید (جدول ۲).

جدول ۲- شاخص‌ها و ویژگی‌های ریزریخت‌شناسی روزنہ‌ها و سلول‌های اپیدرمی در گونه‌های انتخابی مریم‌گلی

Table 2. Micromorphological features and characteristics of stomata and epidermal cells in selected *Salvia* species

Taxon	Epidermal cell appendage	Epidermal cell shape	Mean stomatal length (µm)	Mean stomatal width (µm)	Stomatal index
<i>Salvia aristata</i>	Furrowed	Irregular	18.25±1.18	13.12±0.88	15.85
<i>S. atropatana</i>	Smooth	Irregular	21.94±3.11	15.72±2.12	12.19
<i>S. brachysiphon</i>	Furrowed	Irregular	19.26±3.20	15.29±3.23	11.42
<i>S. ceratophylla</i>	Smooth	Irregular	20.97±1.40	13.50±1.44	15.9
<i>S. hydrangea</i>	Furrowed	Irregular	21.55±3.16	17.48±2.04	17.14
<i>S. indica</i>	Smooth	Irregular	25.04±4.58	16.53±1.63	17.39
<i>S. limbata</i>	Furrowed	Polygonal	19.17±2.15	16.25±0.91	19.04
<i>S. macrosiphon</i>	Smooth	Polygonal	17.26±1.12	15.17±1.28	13.33
<i>S. mirzayanii</i>	Smooth	Irregular	13.71±1.82	8.68±2.42	14.49
<i>S. nemorosa</i>	Furrowed	Irregular	20.35±3.55	16.56±1.20	17.24
<i>S. officinalis</i>	Smooth	Polygonal	10.48±0.60	7.36±0.89	14.89
<i>S. palaestina</i>	Smooth	Polygonal	22.46±3.75	15.82±1.76	10.63
<i>S. reuteriana</i>	Furrowed	Irregular	19.93±4.27	14.41±2.98	7.69
<i>S. sclarea</i>	Smooth	Irregular	12.54±1.22	11.97±0.79	18.36
<i>S. spinosa</i>	Smooth	Irregular	16.72±1.76	13.57±2.15	11.65
<i>S. splendens</i>	Smooth	Polygonal	16.70±2.65	12.76±1.18	17.24
<i>S. syriaca</i>	Furrowed	Polygonal	15.60±1.06	14.33±1.00	5.63
<i>S. verbascifolia</i>	Smooth	Irregular	21.99±4.04	12.91±0.82	13.51
<i>S. virgata</i>	Furrowed	Polygonal	18.99±2.12	16.41±1.85	20.83
<i>S. viridis</i>	Furrowed	Irregular	26.83±2.71	17.57±1.65	16.66

و الگوهای سطحی را نشان داد. تصاویر گرفته شده به وسیله میکروسکوپ نوری برای هر گونه در شکل‌های ۱-۵ و تصاویر مربوط به میکروسکوپ الکترونی روبشی برای هر گونه در شکل‌های ۶-۱۵ نشان داده شده است. مقایسه نتایج هر دو نوع میکروسکوپ، یافته‌های ثابتی از نظر ریخت‌شناسی سلول‌های

به علاوه، شکل سلول‌های اپیدرمی به دو دسته اصلی منظم (چندضلعی) و نامنظم تقسیم شدند. بررسی‌ها و مطالعات مربوط به میکروسکوپ الکترونی روبشی، تصاویر دقیقی از ریخت‌شناسی سطح اپیدرم برگ در گونه‌های مختلف ارایه کرد. این تصاویر ویژگی‌های ساختاری مختلفی از جمله وجود کرک‌ها

اندازه‌گیری‌ها توسط میکروسکوپ الکترونی روبشی نشان داد که در بین گونه‌های مورد بررسی، بیشترین طول روزنه در *S. viridis* با میانگین ۲۶/۸ میکرومتر و کوتاه‌ترین آن در *S. officinalis* با میانگین ۱۰/۴ میکرومتر بود. همچنین بر این اساس مشخص شد، *S. viridis* با میانگین ۱۷/۵۷ میکرومتر و میانگین ۷/۳۶ میکرومتر به ترتیب دارای بیشترین عرض روزنه و کمترین آن بود (جدول ۲). شکل سلول‌های اپیدرمی در گونه‌های مورد بررسی شیاردار یا صاف بود. لازم به ذکر است، به علت وجود روزنه‌های بیشتر، نمونه‌گیری از قسمت زیرین برگ انجام گردید. کلید شناسایی گونه‌ها براساس ویژگی‌های کمّی و کیفی ریزریخت‌شناسی به شرح زیر است:

روزنده‌ای و اپیدرمی نشان داد. با این حال، میکروسکوپ الکترونی روبشی ویژگی‌های سطحی دقیق‌تری را ارایه کرد که با استفاده از میکروسکوپ نوری قابل مشاهده نبود.

به طور معمول، شاخص روزنه با توجه به سن برگ و شرایط بوم‌شناسی برای یک گونه معین تقریباً ثابت است. شاخص روزنه‌ای برگ با نسبت تعداد روزنه‌ها به مجموع تعداد کل روزنه‌ها و سلول‌های اپیدرمی محاسبه می‌شود. برای نمونه‌های مورد نظر در این مطالعه، با استفاده از تصاویر میکروسکوپ نوری با بزرگنمایی ۴۰ و مقیاس ۳۰ میکرومتر، در سطح مقطعی به طول ۶/۲۵۴ و عرض ۶/۱۶۹ با مساحت ۴۳۱۸۰/۱۶ میلی‌متر مربع، شاخص روزنه‌ای محاسبه گردید.

در بین گونه‌های مورد بررسی، پایین‌ترین شاخص روزنه در *S. syriaca* و بالاترین آن در *S. virgata* (جدول ۲).

کلید شناسایی گونه‌های مورد مطالعه جنس مریم‌گلی (*Salvia*) در مناطق مرکزی ایران براساس ویژگی‌های کمّی و کیفی ریزریخت‌شناسی اپیدرم و روزنه

- زواید سلول‌های اپیدرمی صاف ۱
- زواید سلول‌های اپیدرمی شیاردار ۱۲
- شکل سلول‌های اپیدرمی نامنظم ۲
- شکل سلول‌های اپیدرمی چندضلعی ۹
- میانگین طول روزنه کمتر از ۱۵ میکرومتر ۳
- میانگین طول روزنه بیشتر از ۱۵ میکرومتر ۵
- میانگین طول روزنه بین ۱۳ تا ۱۴ میکرومتر، شاخص روزنه بین ۱۴ تا ۱۵ ۴
- میانگین طول روزنه کمتر از ۱۳ میکرومتر، شاخص روزنه بین ۱۸ تا ۱۹ *Salvia mirzayanii*
- میانگین طول روزنه بین ۱۵ تا ۱۶ میکرومتر، شاخص روزنه بین ۱۱ تا ۱۲ *S. sclarea*
- میانگین طول روزنه بین ۱۵ تا ۱۷ میکرومتر، شاخص روزنه بین ۱۱ تا ۱۲ *S. spinosa*
- میانگین طول روزنه بیشتر از ۱۷ میکرومتر ۶
- میانگین طول روزنه تا ۲۲ میکرومتر، شاخص روزنه بین ۱۲ تا ۱۳ *S. atropatana*
- میانگین طول روزنه بیشتر از ۲۰ میکرومتر، شاخص روزنه بیشتر از ۱۳ ۷
- میانگین طول روزنه تا ۲۱ میکرومتر، شاخص روزنه بین ۱۵ تا ۱۶ *S. ceratophylla*
- میانگین طول روزنه بیشتر از ۲۱ میکرومتر ۸
- میانگین طول روزنه بین ۲۱ تا ۲۲ میکرومتر، شاخص روزنه بین ۱۳ تا ۱۴ *S. verbascifolia*
- میانگین طول روزنه بیشتر از ۲۵ میکرومتر، شاخص روزنه بین ۱۷ تا ۱۸ *S. indica*

- ۹- میانگین طول روزنہ کمتر از ۲۲ میکرومتر ۱۰
- میانگین طول روزنہ بیشتر از ۲۲ میکرومتر، شاخص روزنہ بین ۱۰ تا ۱۱ *S. palaestina*
- ۱۰- میانگین طول روزنہ بین ۱۰ تا ۱۲ میکرومتر، شاخص روزنہ بین ۱۴ تا ۱۵ *S. officinalis*
- میانگین طول روزنہ بین ۱۰ تا ۱۲ میکرومتر ۱۱
- میانگین طول روزنہ بیشتر از ۱۲ میکرومتر *S. macrosiphon*
- میانگین طول روزنہ بین ۱۷ تا ۱۸ میکرومتر، شاخص روزنہ بین ۱۳ تا ۱۴ *S. splendens*
- ۱۲- شکل سلول‌های اپیدرمی نامنظم ۱۳
- شکل سلول‌های اپیدرمی چندضلعی ۱۸
- ۱۳- میانگین طول روزنہ کمتر از ۱۹ میکرومتر *S. aristata*
- ۱۴- میانگین طول روزنہ بیشتر از ۱۹ میکرومتر ۱۴
- ۱۴- میانگین طول روزنہ بین ۱۹ تا ۲۰ میکرومتر، شاخص روزنہ بین ۷ تا ۸ *S. reuteriana*
- ۱۵- میانگین طول روزنہ بیشتر از ۲۰ میکرومتر ۱۵
- ۱۵- میانگین طول روزنہ بین ۲۰ تا ۲۱ میکرومتر، شاخص روزنہ بین ۱۷ تا ۱۸ *S. nemorosa*
- میانگین طول روزنہ بیشتر از ۱۹ میکرومتر، شاخص روزنہ کمتر ۱۶
- ۱۶- میانگین طول روزنہ بین ۱۹ تا ۲۱ میکرومتر، شاخص روزنہ بین ۱۱ تا ۱۲ *S. brachysiphon*
- میانگین طول روزنہ بیشتر از ۲۱ میکرومتر ۱۷
- ۱۷- میانگین طول روزنہ بین ۲۱ تا ۲۲ میکرومتر، شاخص روزنہ بین ۱۷ تا ۱۸ *S. hydrangea*
- میانگین طول روزنہ بیشتر از ۲۶ میکرومتر، شاخص روزنہ بین ۱۶ تا ۱۷ *S. viridis*
- ۱۸- میانگین طول روزنہ بین ۱۵ تا ۱۶ میکرومتر، شاخص روزنہ بین ۵ تا ۶ *S. syriaca*
- میانگین طول روزنہ بیشتر از ۱۶ میکرومتر، شاخص روزنہ ۳ برابر ۲۰
- ۱۹- میانگین طول روزنہ بین ۱۹ تا ۲۰ میکرومتر، شاخص روزنہ بین ۱۹ تا ۲۰ *S. limbata*
- میانگین طول روزنہ بیشتر از ۱۸ تا ۱۹ میکرومتر، شاخص روزنہ بین ۲۰ تا ۲۱ *S. virgata*.

بحث و نتیجه‌گیری

نشان داده‌اند که ویژگی‌های تشریحی و ریزریخت‌شناسی برگ‌ها و روزنہ‌ها می‌توانند به عنوان ابزار مهمی در طبقه‌بندی و شناسایی گونه‌های *Salvia* مورد استفاده قرار گیرند (Metcalfe & Chalk 1979).

جنس مریم‌گلی (*Salvia*) یکی از بزرگ‌ترین جنس‌های گیاهی است که به دلیل پراکنش جهانی و تنوع وسیع ریخت‌شناسی؛ طبقه‌بندی آن بدون داشت کافی از گسترده وسیع تغییرات امکان‌پذیر نیست. مطالعات پیشین

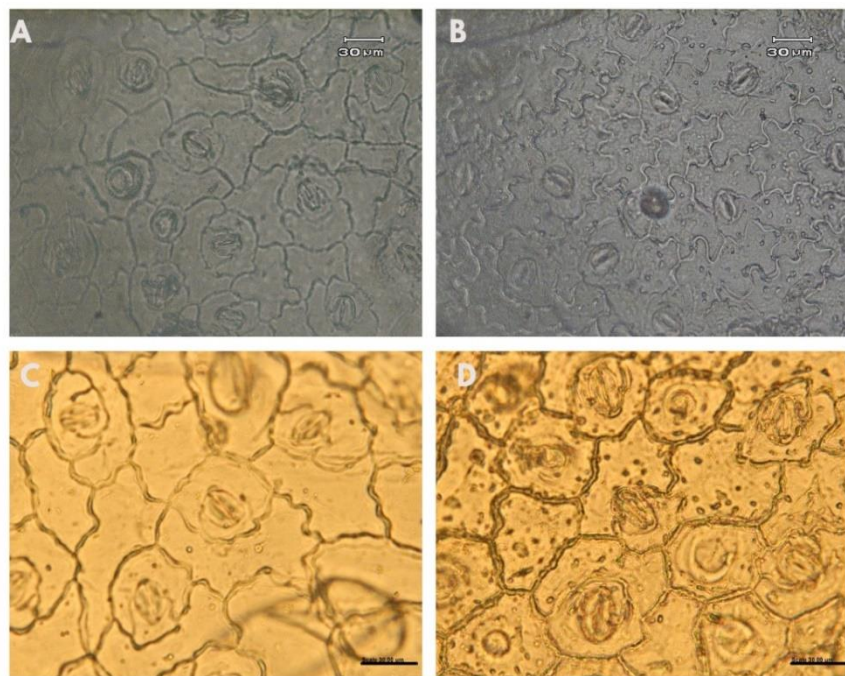
مشکلات طبقه‌بندی این جنس نشان داده شده است (علیجانپور و شیدایی ۲۰۱۷).

نتایج حاصل از این پژوهش نشان داد که گونه‌های جنس مریم‌گلی از تنوع بالایی در ایران برخوردارند و بین گونه‌های مطالعه شده از مناطق مرکزی ایران از نظر اندازه روزنہ و شکل اپیدرم تفاوت‌های قابل توجهی وجود دارند. شباهت بین گونه‌ها می‌تواند به دلیل شرایط یکسان محیطی و بوم‌شناسی منطقه باشد، به طوری که در تمام گونه‌ها، لایه‌های اپیدرم سطح برگ به صورت یک لایه سلولی همراه با کرک‌های چندسلولی و یا غده‌ای بودند. سلول‌های پارانشیمی در بعضی جمعیت‌ها چندوجهی و در بعضی نامنظم بود. همچنین، از لحاظ کرک‌های سطح برگ نیز تفاوت‌هایی مشاهده شد. میزان کرک در برخی گونه‌ها تفاوت چشم‌گیری با دیگر گونه‌ها داشت، به طوری که می‌توان این تفاوت‌ها و شباهت‌ها را به شرایط بوم‌شناسی و یا وجود تفاوت‌های ژنتیکی در گونه‌ها نسبت داد. همچنین، نتایج این مطالعه نشان داد که تفاوت‌های کمی و کیفی مشاهده شده در صفات برگ گونه‌های مختلف جنس می‌توانند نقش مفیدی در شناسایی و تمایز این گونه‌ها ایفا کنند. علاوه بر این، تفاوت‌ها نشان‌دهنده این بود که استفاده توأم از روش‌های میکروسکوپ نوری و الکترونی رویشی اطلاعات دقیقی را برای تشخیص و طبقه‌بندی گونه‌ها فراهم می‌آورد. به علاوه، این نتایج حاکی از آن است که ویژگی‌های ریزریخت‌شناسی روزنہ‌ها و سلول‌های اپیدرمی می‌توانند به عنوان ابزارهای تشخیصی معتبر در تمایز بین گونه‌های مختلف این جنس مورد استفاده قرار گیرند. اساس این تفاوت‌ها و شباهت‌ها ممکن است ناشی از تأثیرات شرایط بوم‌شنافتی مختلف و تفاوت‌های ژنتیکی باشد. به منظور کسب شناخت عمیق‌تر از این روابط و نحوه تاثیرگذاری آن‌ها بر صفات کمی و کیفی، مطالعه گونه‌ها در شرایط کشت یکسان می‌تواند به طبقه‌بندی و شناسایی گونه‌ها کمک کرده و بهبود روش‌های سیستماتیک را ممکن سازد.

در این مطالعه، ویژگی‌های ریزریخت‌شناسی در ۲۰ گونه انتخابی از جنس *Salvia* مورد بررسی قرار گرفت. نتایج نشان داد که بیشترین طول روزنہ مربوط به *S. indica* و بیشترین عرض روزنہ مربوط به *S. hydrangea* بود. این نتایج با مطالعات سایر محققان همخوانی دارد که نشان دادند گونه‌های مختلف این جنس دارای تفاوت‌های قابل توجهی در ویژگی‌های ریزریخت‌شناسی هستند (Dyubeni & Buwa 2012).

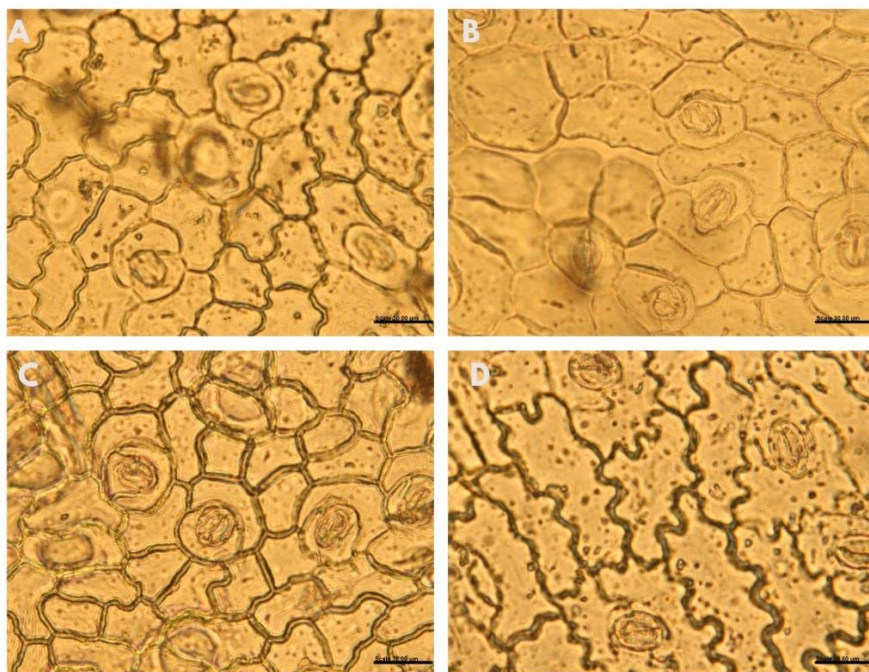
همچنین در بررسی حاضر، شاخص روزنہ به عنوان یکی از ویژگی‌های تشخیصی مهم مورد مطالعه قرار گرفت و نشان داد که بالاترین شاخص روزنہ مربوط به *S. virgata* و پایین‌ترین آن مربوط به *S. syriaca* بود. این نتایج همچنین نشان داد که حتی در داخل یک جنس، تفاوت‌های قابل توجهی در شاخص‌های روزنہ‌ای وجود دارد که می‌تواند به عنوان ابزار تشخیصی مورد استفاده قرار گیرد (متکاف و چاک ۱۹۷۹). همچنین، بررسی‌های کیفی نشان داد که آرایش و تزیینات سلول‌های اپیدرمی در برخی گونه‌ها به صورت شیاردار و در برخی دیگر به صورت صاف بودند. نحوه قرارگیری سلول‌های اپیدرمی احاطه کننده سلول‌های نگهبان در همه گونه‌ها به صورت دیاستیک مشاهده گردید که این نتایج با مطالعات قبلی همخوانی دارد (برکو و همکاران ۲۰۱۲). مطالعات پیشین نیز با بررسی ویژگی‌های ریزریخت‌شناسی و تشریحی گونه‌های مختلف جنس مریم‌گلی، بر تنوع بالای این گیاه در مناطق خشک ایران تاکید کرده‌اند (جعفری و نیکیان ۲۰۰۸).

همچنین، بررسی مورفومتری گونه‌های جنس مذکور به اهمیت ویژگی‌های تشخیصی برای تمایز گونه‌ها پرداخته است (خرازیان ۲۰۱۲). وجود تفاوت‌های ساختاری کرک‌ها و تفاوت‌های تشریحی برگ‌های گونه‌های مختلف آن در مناطق شمال‌شرقی ایران نیز مطالعه و مورد بررسی قرار گرفته است (موسوی و همکاران ۲۰۱۴). در نهایت، با استفاده از آرایه‌شناسی عددی، کارایی ویژگی‌های ریخت‌شنافتی کمی در حل



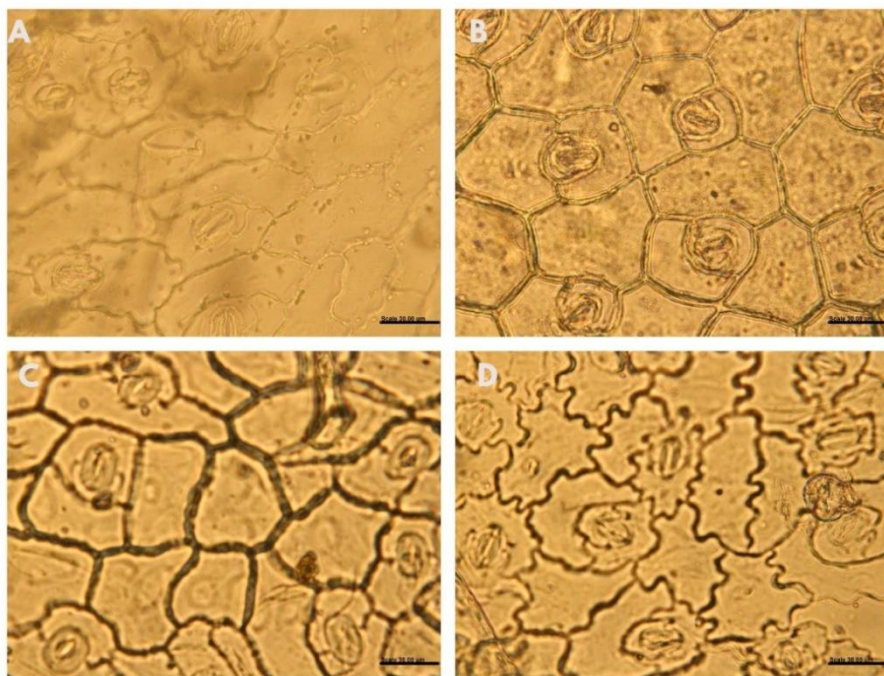
شکل ۱- تصویر میکروسکوپ نوری اپیدرم و روزنه: A. *Salvia aristata*, B. *S. hydrangea*, C. *S. atropatana*, D. *S. nemorosa* (Bar = 30 μm).
(مقیاس = ۳۰ میکرومتر).

Fig. 1. Light microscopy image of the epidermis and stomata: A. *Salvia aristata*, B. *S. hydrangea*, C. *S. atropatana*, D. *S. nemorosa* (Bar = 30 μm).



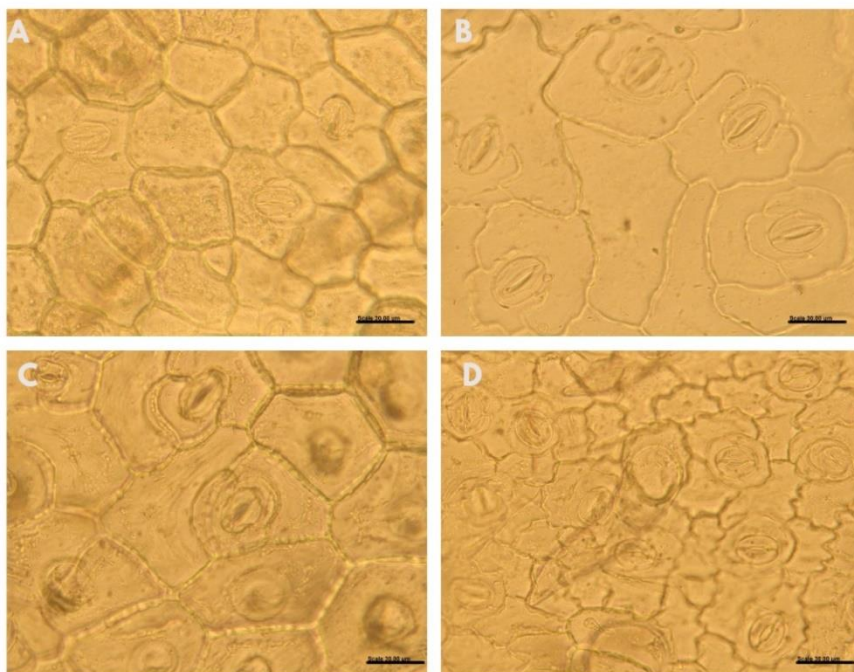
شکل ۲- تصویر میکروسکوپ نوری اپیدرم و روزنه: A. *Salvia reuteriana*, B. *S. macrosiphon*, C. *S. syriaca*, D. *S. brachysiphon* (Bar = 30 μm).
(مقیاس = ۳۰ میکرومتر).

Fig. 2. Light microscopy image of the epidermis and stomata: A. *Salvia reuteriana*, B. *S. macrosiphon*, C. *S. syriaca*, D. *S. brachysiphon* (Bar = 30 μm).



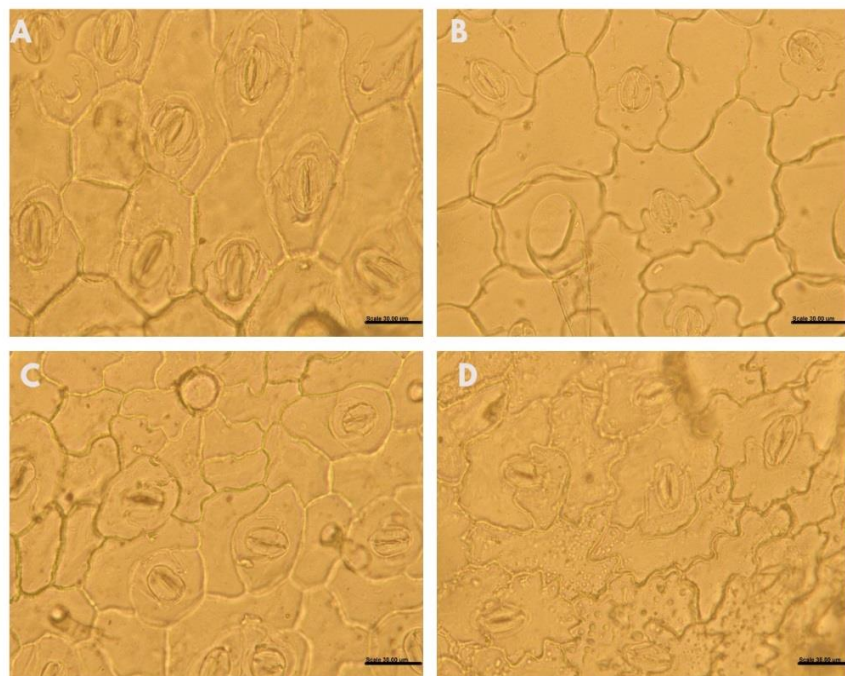
شکل ۳ - تصویر میکروسکوپ نوری اپیدرم و روزنه: A. *Salvia ceratophylla*, B. *S. limbata*, C. *S. officinalis*, D. *S. sclarea* (Bar = 30 μm).
(مقیاس = ۳۰ میکرومتر).

Fig. 3. Light microscopy image of the epidermis and stomata: A. *Salvia ceratophylla*, B. *S. limbata*, C. *S. officinalis*, D. *S. sclarea* (Bar = 30 μm).



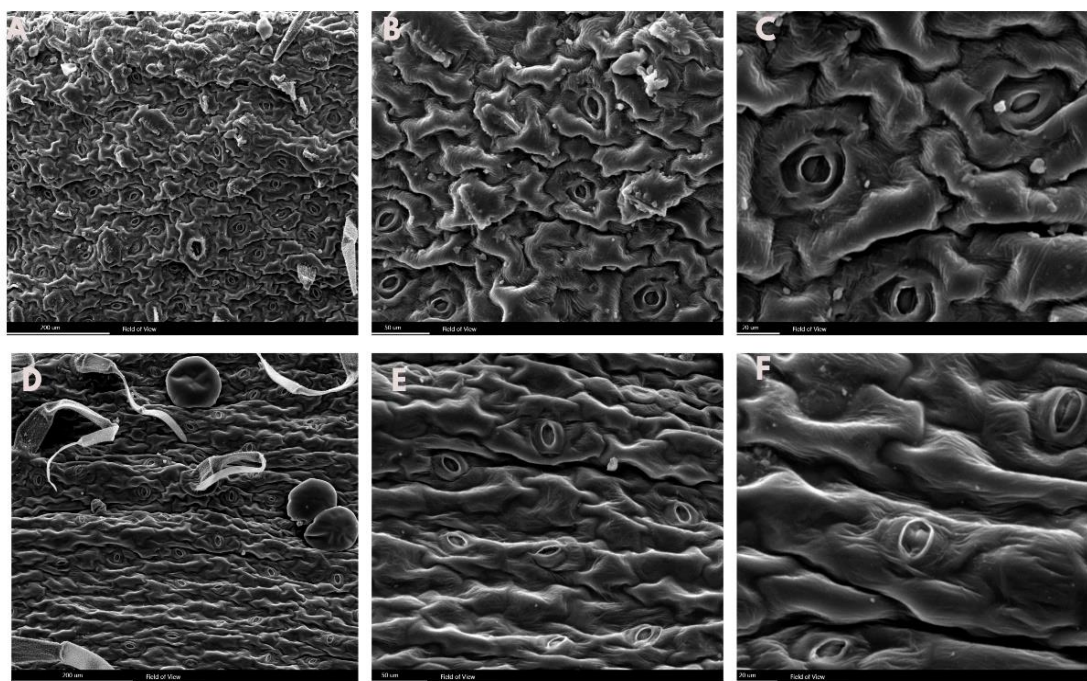
شکل ۴ - تصویر میکروسکوپ نوری اپیدرم و روزنه: A. *Salvia palaestina*, B. *S. viridis*, C. *S. splendens*, D. *S. spinosa* (Bar = 30 μm).
(مقیاس = ۳۰ میکرومتر).

Fig. 4. Light microscopy image of the epidermis and stomata: A. *Salvia palaestina*, B. *S. viridis*, C. *S. splendens*, D. *S. spinosa* (Bar = 30 μm).



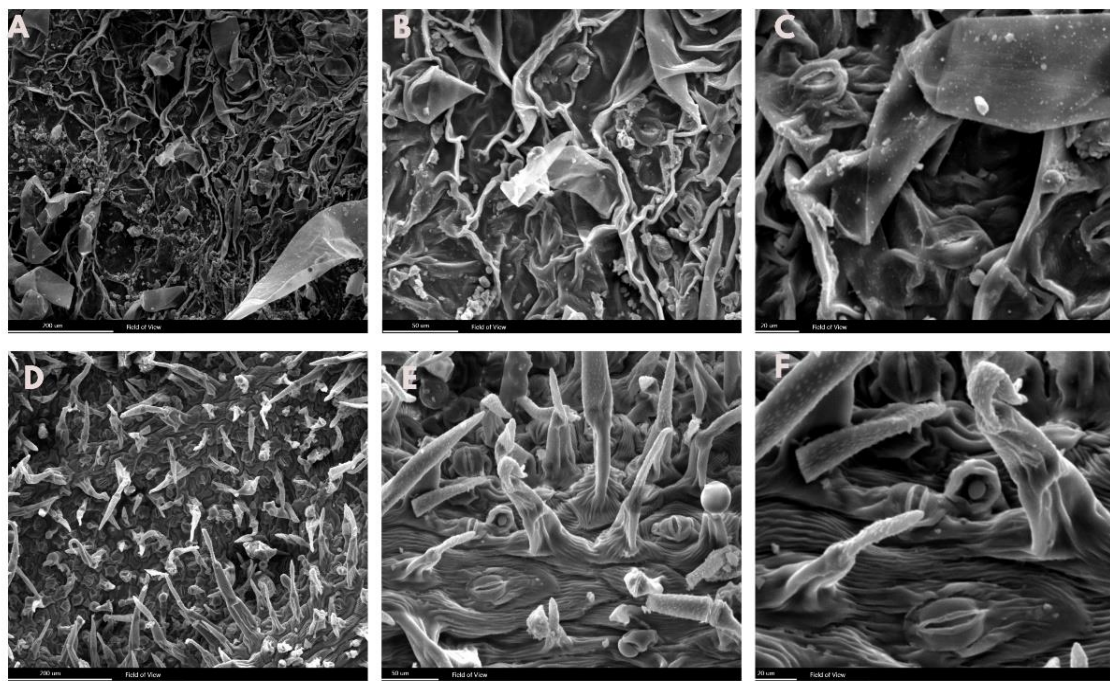
شکل ۵- تصویر میکروسکوپ نوری اپیدرم و روزنه: A. *Salvia virgata*, B. *S. verbascifolia*, C. *S. mirzayanii*, D. *S. indica* (Bar = 30 μm).
مقیاس = ۳۰ میکرومتر).

Fig. 5. Light microscopy image of the epidermis and stomata: A. *Salvia virgata*, B. *S. verbascifolia*, C. *S. mirzayanii*, D. *S. indica* (Bar = 30 μm).



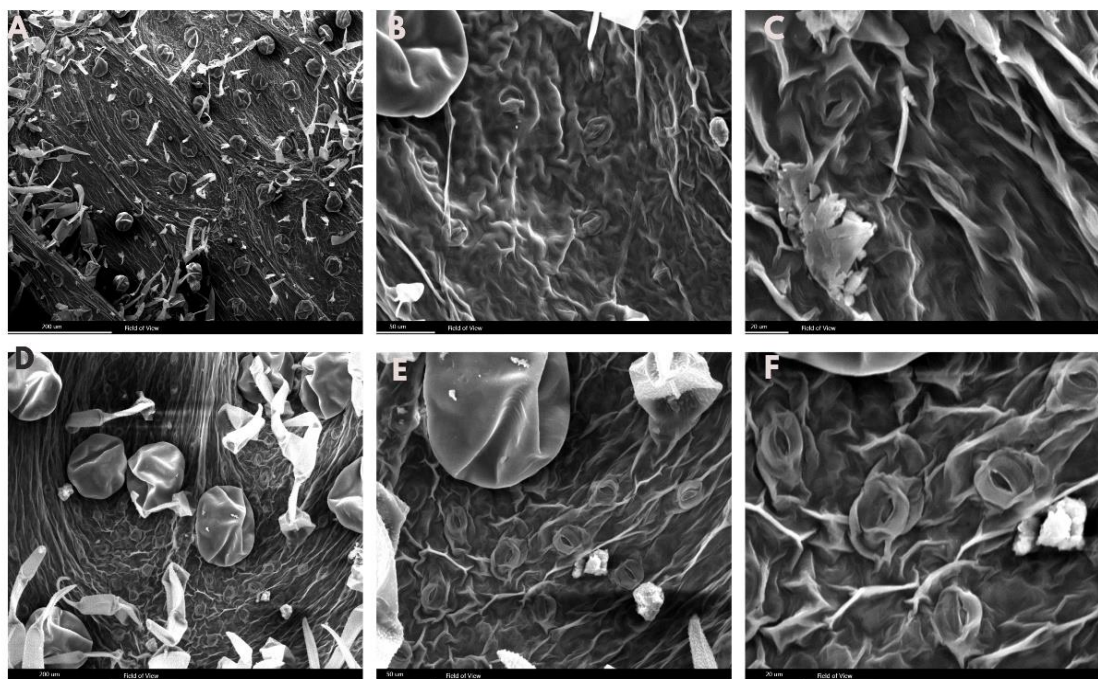
شکل ۶- تصویر میکروسکوپ الکترونی روبشی اپیدرم و روزنه: ردیف بالا *Salvia aristata* [مقیاس = ۲۰۰ میکرومتر (A)، ۵۰ میکرومتر (B) و ۲۰ میکرومتر (C)]. ردیف پایین *S. hydrangea* [مقیاس = ۲۰۰ میکرومتر (D)، ۵۰ میکرومتر (E) و ۲۰ میکرومتر (F)].

Fig. 6. Scanning electron microscopy (SEM) image of the epidermis and stomata. Top row: *Salvia aristata* [Bar = 200 μm (A), 50 μm (B), and 20 μm (C)]. Bottom row: *S. hydrangea* [Bar = 200 μm (D), 50 μm (E), and 20 μm (F)].



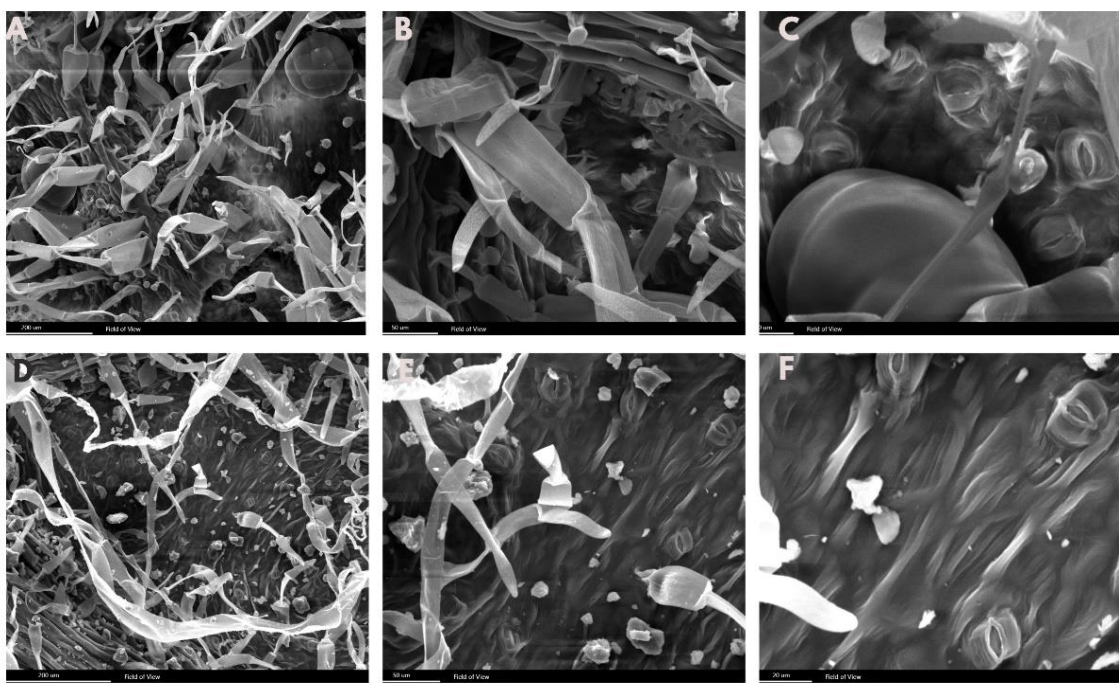
شکل ۷ - تصویر میکروسکوپ الکترونی روبشی اپیدرم و روزنه: ردیف بالا *Salvia atropatana* [مقیاس = ۲۰۰ میکرومتر (A)، ۵۰ میکرومتر (B) و ۲۰ میکرومتر (C)]. ردیف پایین (D)، (E) و (F) [مقیاس = ۲۰۰ میکرومتر (D)، ۵۰ میکرومتر (E) و ۲۰ میکرومتر (F)].

Fig. 7. Scanning electron microscopy (SEM) image of the epidermis and stomata. Top row: *Salvia atropatana* [Bar = 200 μm (A), 50 μm (B), and 20 μm (C)]. Bottom row: *S. nemorosa* [Bar = 200 μm (D), 50 μm (E), and 20 μm (F)].



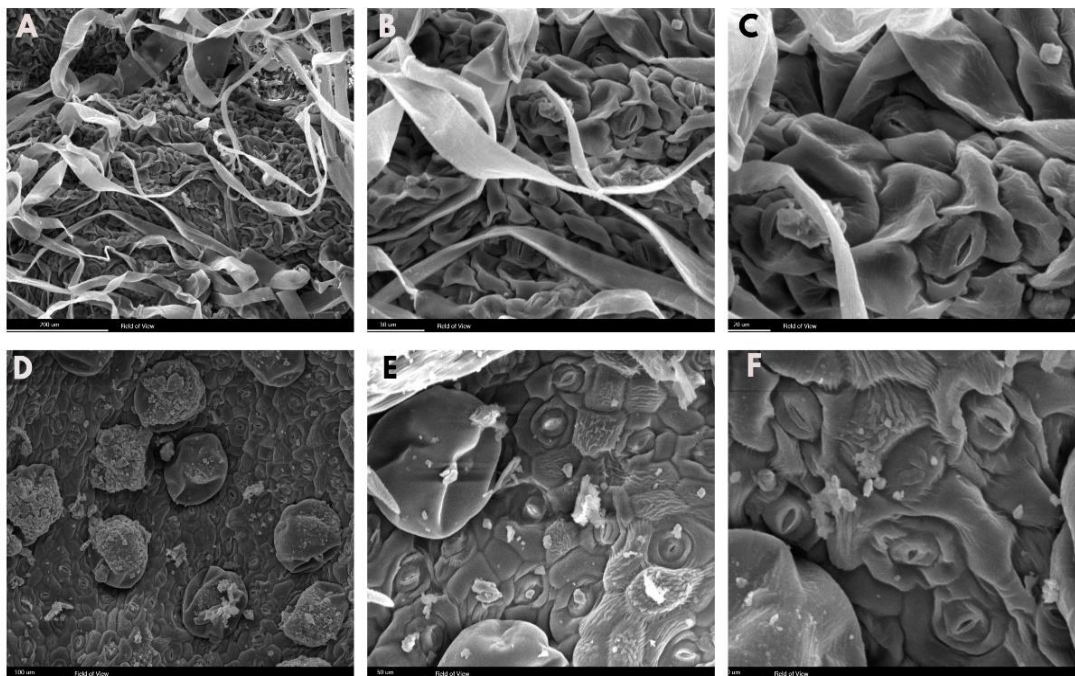
شکل ۸ - تصویر میکروسکوپ الکترونی روبشی اپیدرم و روزنه: ردیف بالا *Salvia reuteriana* [مقیاس = ۲۰۰ میکرومتر (A)، ۵۰ میکرومتر (B) و ۲۰ میکرومتر (C)]. ردیف پایین (D)، (E) و (F) [مقیاس = ۲۰۰ میکرومتر (D)، ۵۰ میکرومتر (E) و ۲۰ میکرومتر (F)].

Fig. 8. Scanning electron microscopy (SEM) image of the epidermis and stomata. Top row: *Salvia reuteriana* [Bar = 200 μm (A), 50 μm (B), and 20 μm (C)]. Bottom row: *S. macrosiphon* [Bar = 200 μm (D), 50 μm (E), and 20 μm (F)].



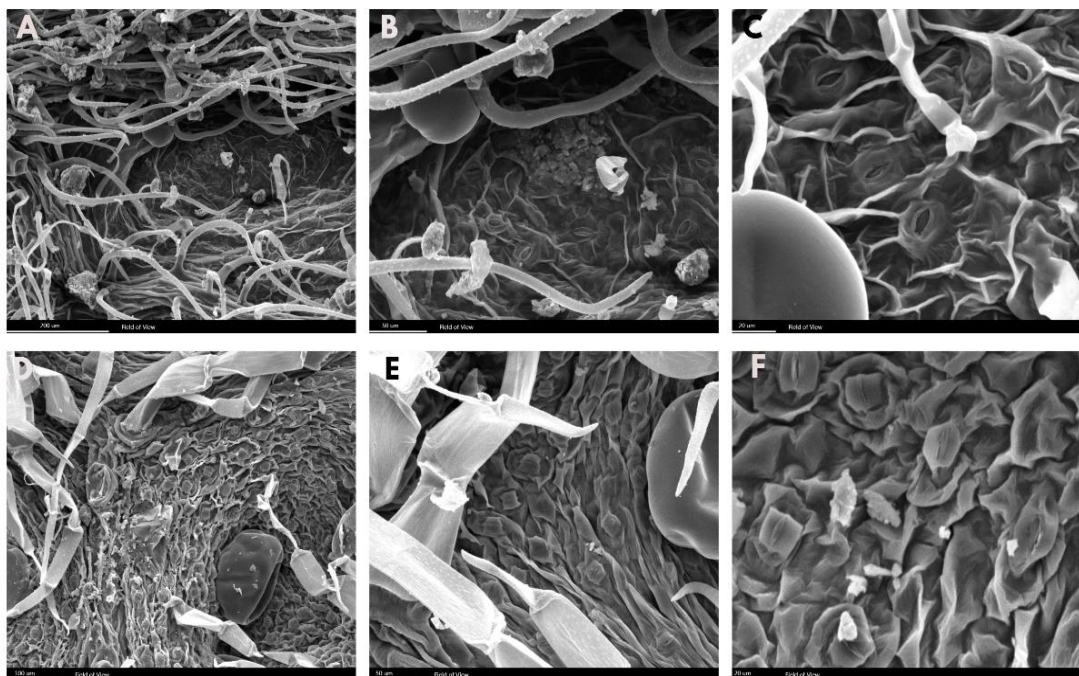
شکل ۹- تصویر میکروسکوپ الکترونی روشی اپیدرم و روزنه: ردیف بالا *Salvia syriaca* [مقیاس = ۲۰۰ میکرومتر (A)، ۵۰ میکرومتر (B) و ۲۰ میکرومتر (C)]. ردیف پایین *S. brachysiphon* [مقیاس = ۲۰۰ میکرومتر (D)، ۵۰ میکرومتر (E) و ۲۰ میکرومتر (F)].

Fig. 9. Scanning electron microscopy (SEM) image of the epidermis and stomata. Top row: *Salvia syriaca* [Bar = 200 μm (A), 50 μm (B), and 20 μm (C)]. Bottom row: *S. brachy siphon* [Bar = 200 μm (D), 50 μm (E), and 20 μm (F)].



شکل ۱۰- تصویر میکروسکوپ الکترونی روشی اپیدرم و روزنه: ردیف بالا *Salvia ceratophylla* [مقیاس = ۲۰۰ میکرومتر (A)، ۵۰ میکرومتر (B) و ۲۰ میکرومتر (C)]. ردیف پایین *S. limbata* [مقیاس = ۲۰۰ میکرومتر (D)، ۵۰ میکرومتر (E) و ۲۰ میکرومتر (F)].

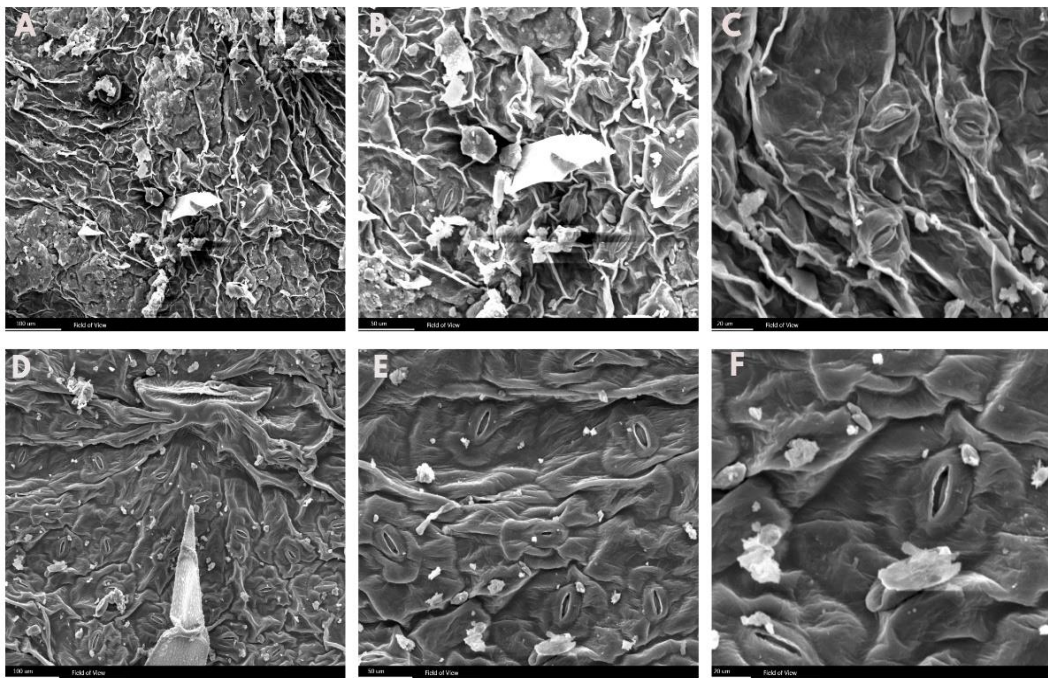
Fig. 10. Scanning electron microscopy (SEM) image of the epidermis and stomata. Top row: *Salvia ceratophylla* [Bar = 200 μm (A), 50 μm (B), and 20 μm (C)]. Bottom row: *S. limbata* [Bar = 200 μm (D), 50 μm (E), and 20 μm (F)].



شکل ۱۱- تصویر میکروسکوپ الکترونی روبشی اپیدرم و روزنه: ردیف بالا *Salvia officinalis* [مقیاس = ۲۰۰ میکرومتر (A).

۵۰ میکرومتر (B) و ۲۰ میکرومتر (C)]. ردیف پایین *S. sclarea* [مقیاس = ۲۰۰ میکرومتر (D)، ۵۰ میکرومتر (E) و ۲۰ میکرومتر (F)].

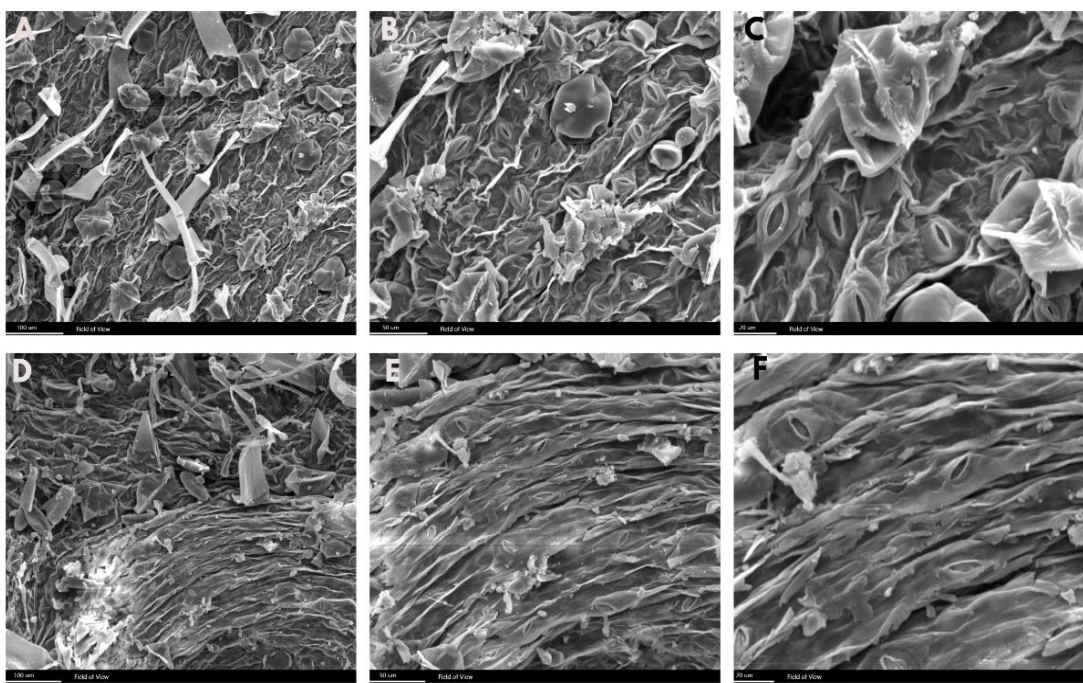
Fig. 11. Scanning electron microscopy (SEM) image of the epidermis and stomata. Top row: *Salvia officinalis* [Bar = 200 μm (A), 50 μm (B), and 20 μm (C)]. Bottom row: *S. sclarea* [Bar = 200 μm (D), 50 μm (E), and 20 μm (F)].



شکل ۱۲- تصویر میکروسکوپ الکترونی روبشی اپیدرم و روزنه: ردیف بالا *Salvia palaestina* [مقیاس = ۲۰۰ میکرومتر (A).

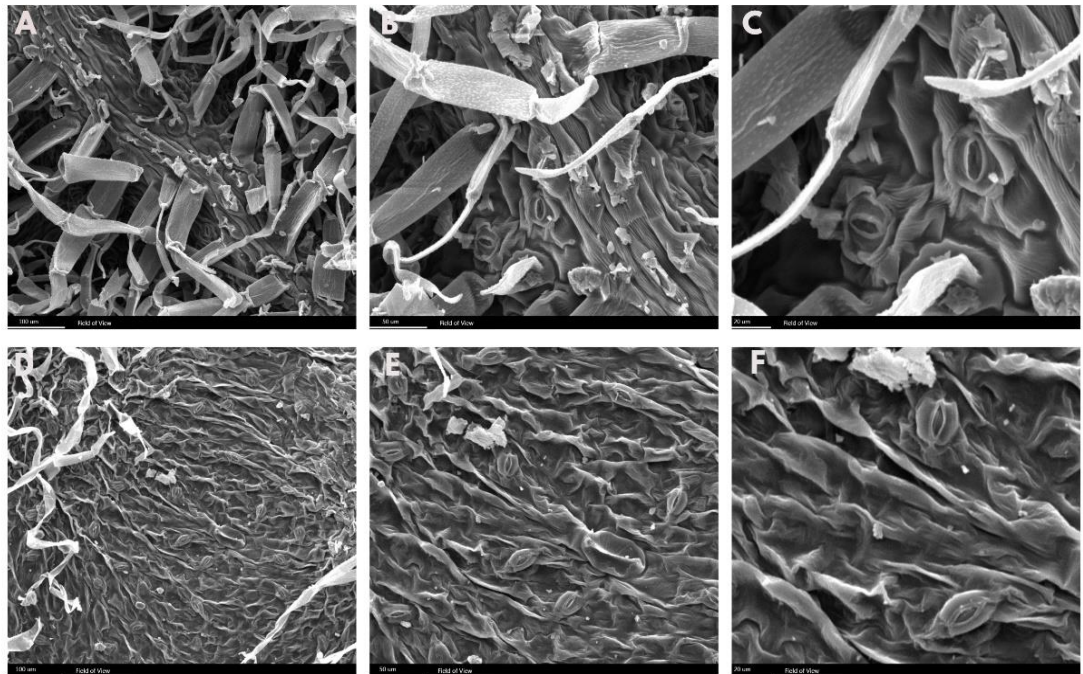
۵۰ میکرومتر (B) و ۲۰ میکرومتر (C)]. ردیف پایین *S. viridis* [مقیاس = ۲۰۰ میکرومتر (D)، ۵۰ میکرومتر (E) و ۲۰ میکرومتر (F)].

Fig. 12. Scanning electron microscopy (SEM) image of the epidermis and stomata. Top row: *Salvia palaestina* [Bar = 200 μm (A), 50 μm (B), and 20 μm (C)]. Bottom row: *S. viridis* [Bar = 200 μm (D), 50 μm (E), and 20 μm (F)].



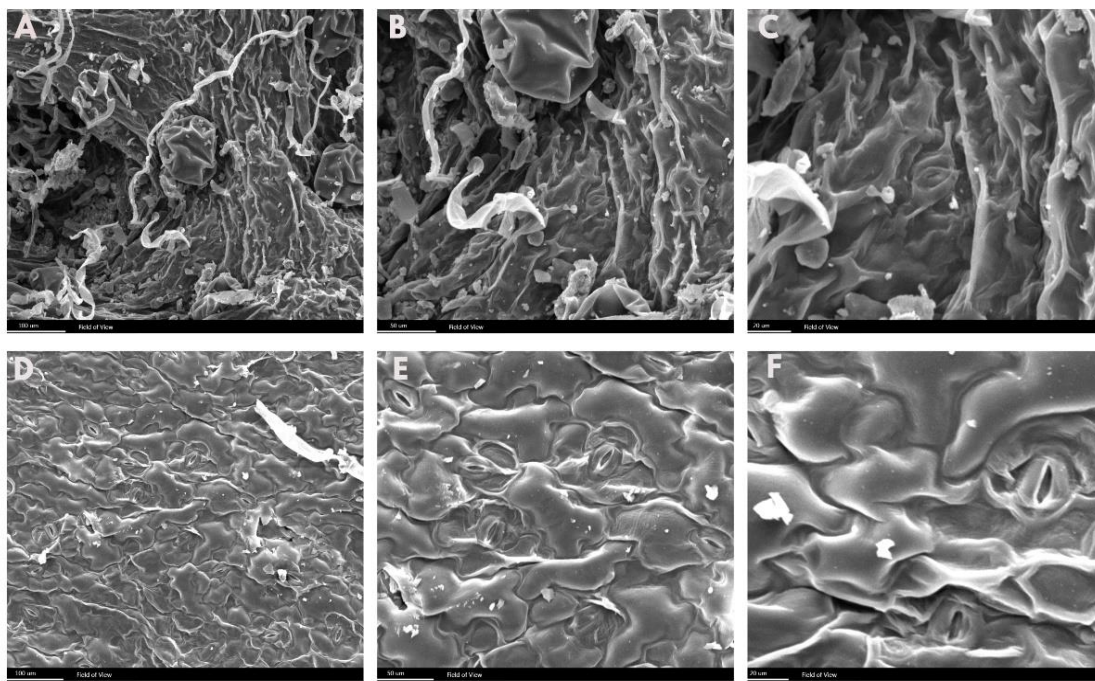
شکل ۱۳- تصویر میکروسکوپ الکترونی روبشی اپیدرم و روزنه: ردیف بالا *Salvia splendens* [مقیاس = ۲۰۰ میکرومتر (A)، ۵۰ میکرومتر (B) و ۲۰ میکرومتر (C)]. ردیف پایین *S. spinosa* [مقیاس = ۲۰۰ میکرومتر (D)، ۵۰ میکرومتر (E) و ۲۰ میکرومتر (F)].

Fig. 13. Scanning electron microscopy (SEM) image of the epidermis and stomata. Top row: *Salvia splendens* [Bar = 200 μm (A), 50 μm (B), and 20 μm (C)]. Bottom row: *S. spinosa* [Bar = 200 μm (D), 50 μm (E), and 20 μm (F)].



شکل ۱۴- تصویر میکروسکوپ الکترونی روبشی اپیدرم و روزنه: ردیف بالا *Salvia virgata* [مقیاس = ۲۰۰ میکرومتر (A)، ۵۰ میکرومتر (B) و ۲۰ میکرومتر (C)]. ردیف پایین *S. verbascifolia* [مقیاس = ۲۰۰ میکرومتر (D)، ۵۰ میکرومتر (E) و ۲۰ میکرومتر (F)].

Fig. 14. Scanning electron microscopy (SEM) image of the epidermis and stomata. Top row: *Salvia virgata* [Bar = 200 μm (A), 50 μm (B), and 20 μm (C)]. Bottom row: *S. verbascifolia* [Bar = 200 μm (D), 50 μm (E), and 20 μm (F)].



شکل ۱۵- تصویر میکروسکوپ الکترونی روبشی اپیدرم و روزنه: ردیف بالا [مقیاس = ۲۰۰ میکرومتر (A)، ۵۰ میکرومتر (B) و ۲۰ میکرومتر (C)]. ردیف پایین [مقیاس = ۲۰۰ میکرومتر (D)، ۵۰ میکرومتر (E) و ۲۰ میکرومتر (F)].

Fig. 15. Scanning electron microscopy (SEM) image of the epidermis and stomata. Top row: *Salvia mirzayanii* [Bar = 200 μm (A), 50 μm (B), and 20 μm (C)]. Bottom row: *S. indica* [Bar = 200 μm (D), 50 μm (E), and 20 μm (F)].

References

- Albaladejo, R.G., Aparicio, A. & Silvestre, S. 2004. Variation patterns in the *Phlomis* x *composita* (Lamiaceae) hybrid complex in the Iberian Peninsula. Botanical Journal of the Linnean Society 145: 97–108. DOI: 10.1111/j.1095-8339.2003.00266.x.
- Alijanpour, B. & Sheidai, M. 2017. Numerical taxonomy study of *Salvia* L. (Lamiaceae) species in southern slope of Central Alborz, Iran. Nova Biologica Reperta 4: 107–115 (In Persian).
- Bahadori, S., Sonboli, A. & Jamzad, Z. 2017. Anatomical and morphological characteristics of *Salvia candidissima* Vahl. ssp. *candidissima* (Lamiaceae) as a new record from Iran. The Iranian Journal of Botany 22(2): 104–111. DOI: 10.22092/IJB.2016.107943.
- Bercu, R., Negrean, G. & Broasca, L. 2012. Leaf anatomical study of taxons *Salvia nemorosa* subsp. *tesquicola*, *Salvia nutans*, and *Salvia sobrogensis* from Dobrudja. Botanica Serbica 36(2): 103–109. DOI: 10.1556/abot.54.2012.3-4.3.
- Clebsch, B. & Barner, C. 2003. The New Book of Salvias: Sages for Every Garden. Portland, Timber Press.
- Corsi, G. & Bottega, S. 1999. Glandular hairs of *Salvia officinalis*: new data on morphology, localization and histochemistry in relation to function. Annals of Botany 28(5): 657–664. DOI: 10.1006/anbo.1999.0961.
- Dyubeni, L. & Buwa, L.V. 2012. Foliar micromorphology of *Salvia greggii* A. Gray (Lamiaceae). African Journal of Plant Science 6(1): 32–38. DOI: 10.5897/AJPS11.064.

- Gahremaninejad, F. 2004. Value of trichome characteristics for the separation of bifurcating hairy *Astragalus* L. (Fabaceae) at the sectional level. *Turkish Journal of Botany* 28(1): 241–245.
- Gahremaninejad, F., Khalili, Z., Maassoumi, A.A., Mirzaie-Nodoushan, H. & Riahi, M. 2012. Leaf epidermal features of *Salix* species (Salicaceae) and their systematic significance. *American Journal of Botany* 99(4): 769–777. DOI: 10.3732/ajb.1100019.
- Harley, R.M., Atkins, S., Budantsev, A.L., Cantino, P.D., Conn, B.J., Grayer, R. & Harley, M.M. 2004. Labiatae. Pp. 167–275. In: Kadereit, J.W. (ed.), *The Families and Genera of Vascular Plants*. Berlin. Springer-Verlag.
- Hedge, I.C. 1982. Labiatae. Pp. 401–476. In: Rechinger, K.H. (ed.), *Flora Iranica*, Vol. 150. Graze: Academische Druck-U. Verlagsanstalt.
- Jafari, A. & Nikian, M. 2008. Micromorphological, anatomical and pollen ornamentation study on four desert species of *Salvia* in Center of Iran. *Asian Journal of Plant Sciences* 7: 736–741. DOI: 10.3923/ajps.2008.736.741.
- Jamzad, Z. 2012. Flora of Iran Vol. 76. Lamiaceae. Research Institute of Forests and Rangelands, Tehran. 1074 pp.
- Kahraman, A., Celep, F. & Dogan, M. 2010. Anatomy, trichome morphology and palynology of *Salvia chrysophylla* Stapf (Lamiaceae). *South African Journal of Botany* 76(2): 187–195. DOI: 10.1016/j.sajb.2009.10.003.
- Kamatou, G.P.P., Viljoen, A.M., Makunga, N.P. & Ramogola, W.P.N. 2008. South African *Salvia* species: A review of biological activities and phytochemistry. *Journal of Ethnopharmacology* 119(3): 664–672. DOI: 10.1016/j.jep.2008.06.030.
- Karbalaei, Z., Akhavan, R.A., Balali, G.R. & Bagheri, A. 2021. Foliar micromorphology of some selected species of the genus *Artemisia* and its taxonomic implications. *Rostaniha* 22(2): 273–285. DOI: 10.22092/BOTANY.2022.356460.1277.
- Kaya, A. 2011. Morphological, Anatomical and trichomes properties of *Salvia wiedemannii* Boiss. endemic to Turkey. *Turkish Journal of Pharmaceutical Sciences* 8(3): 227–238.
- Kharazian, N. 2009. Taxonomy and morphology of *Salvia spinosa* L. (Lamiaceae) in Iran. *Taxonomy and Biosystematics* 1(1): 9–20 (In Persian).
- Kharazian, N. 2012. Morphometric study of some *Salvia* L. (Lamiaceae) species in Iran. *Scientific Journal of Biological Sciences* 1: 126–137. DOI: 10.14196/SJBS.V1I6.371.
- Metcalf, C.R. & Chalk, L. 1979. *Anatomy of Dicotyledons*, Vol. I. London: Oxford University Press.
- Moon, H.K., Hong, S.P., Smets, E. & Huysmans, S. 2009. Phylogenetic significance of leaf micromorphology and anatomy in the tribe *Mentheae* (Nepetoideae: Lamiaceae). *Botanical Journal of the Linnean Society* 160: 211–223. DOI: 10.1111/j.1095-8339.2009.00979.x.
- Mostafavi, G. & Hesami, S. 2023. Genetic and chemical diversity among *Salvia multicaulis* populations employing AFLP markers and the essential oil profile. *Rostaniha* 24(2): 139–150. DOI: 10.22092/BOT.J.IRAN.2023.362816.1363.
- Mousavi, M., Jafari, A. & Najafi, Sh. 2014. Anatomical and micromorphological studies on leaves of *Salvia* L. species in Iran. *Journal of Romanian Biotechnology Letters* 19: 9058–9068.
- Navarro, T. & El Qualidi, J. 2000. Trichome morphology in *Teucrium* L. (Labiatae), a taxonomic review. *Anales del Jardín Botánico de Madrid* 57: 277–297. DOI: 10.3989/ajbm.1999.v57.i2.203.
- Özler, H., Pehlivan, S., Celep, F., Doğan, M., Kahraman, A., Fisne, A.Y. & Bagherpour, S. 2013. Pollen morphology of *Hymenosphace* and *Aethiopis* sections of the genus *Salvia* (Lamiaceae)

- in Turkey. *Turkish Journal of Botany* 37(6): 1070–1084. DOI: 10.3906/bot-1209-50.
- Polat, R., Cakilcioglu, U., Selvi, S., Türkmen Z. & Kandemir, A. 2017. The anatomical and micromorphological properties of three endemic and medicinal *Salvia* species (Lamiaceae) in Erzincan (Turkey). *Plant Biosystems* 151(1): 63–73. DOI: 10.1080/11263504.2015.1076083.
- Walker, J.B. & Sytsma, K.J. 2007. Staminal evolution in the genus *Salvia* (Lamiaceae): molecular phylogenetic evidence for multiple origins of the staminal lever. *Annals of Botany* 100(2): 375–391. DOI: 10.1093/aob/mcl176.